

Х. С. ХАЗАНОВ

НАПРЯЖЕННОЕ СОСТОЯНИЕ КРУГОВОЙ ЦИЛИНДРИЧЕСКОЙ ОБОЛОЧКИ, НАГРУЖЕННОЙ МОМЕНТОМ ЧЕРЕЗ АБСОЛЮТНО ЖЕСТКУЮ КРУГЛУЮ ШАЙБУ

Обозначения

- R, h — радиус срединной поверхности и толщина оболочки,
- R_0 — радиус шайбы,
- $\lambda = \frac{R}{h}, \kappa = \frac{R_0}{R}$ — безразмерные параметры оболочки с шайбой,
- ξ, η — безразмерные декартовы координаты точек срединной поверхности оболочки, отнесенные к радиусу линии спая R_0 (начало координат — в центре шайбы, ось ξ — по образующей),
- $\rho = \frac{r}{R_0}, \theta$ — полярные на развертке цилиндра координаты, угол θ отсчитывается от образующей,
- u, v, w — компоненты перемещения точек срединной поверхности оболочки,
- $M_r, N_r, T_{r\theta}, Q_r^*$ — изгибающий момент, нормальная, касательная и обобщенная перерезывающая силы в сечении оболочки $\rho = \text{const}$,
- E, μ — модуль упругости и коэффициент Пуассона материала оболочки.

Рассматривается случай, когда в круглое отверстие на боковой поверхности достаточно длинной цилиндрической оболочки впаена абсолютно жесткая шайба. К шайбе приложен момент M , вектор которого параллелен касательной к направляющей срединной поверхности оболочки в начале координат. Предполагается, что момент уравнивается усилиями на торцах оболочки.

Для исследования напряженного состояния системы используется однородное дифференциальное уравнение тонкой пологой

цилиндрической оболочки относительно комплексной функции $F = w + i\varphi$ [2], которое в безразмерных координатах имеет вид

$$\nabla^2 \nabla^2 F + 8i\omega^2 \frac{\partial^2 F}{\partial \xi^2} = 0, \quad (1)$$

где

$$\nabla^2 = \frac{\partial^2}{\partial \xi^2} + \frac{\partial^2}{\partial \eta^2}, \quad \omega = \frac{1}{2} \sqrt[4]{3(1-\mu^2)} \kappa \sqrt{\lambda}. \quad (2)$$

Поскольку рассматривается круглая шайба, то целесообразно перейти к полярным на развертке цилиндра координатам. На основании [3, 4] для симметричного относительно ξ и обратно-симметричного относительно η напряженного состояния имеем

$$w(\rho, \theta) = \sum_{\nu=1,3,5,\dots}^{\infty} w_{\nu}(x) \cos \nu\theta, \quad \varphi(\rho, \theta) = \sum_{\nu=1,3,5,\dots}^{\infty} \varphi_{\nu}(x) \cos \nu\theta, \quad (3)$$

где $x = \omega\rho$,

$$w_{\nu}(x) = (-1)^{\frac{\nu-1}{2}} \sum_{n=0}^{\infty} [A_n \alpha_{n\nu}^*(x) - B_n \beta_{n\nu}^*(x)],$$

$$\varphi_{\nu}(x) = (-1)^{\frac{\nu-1}{2}} \sum_{n=0}^{\infty} [A_n \beta_{n\nu}^*(x) + B_n \alpha_{n\nu}^*(x)]. \quad (4)$$

Здесь A_n и B_n — постоянные, подлежащие отысканию из граничных условий. Функции же $\alpha_{n\nu}^*(x)$ и $\beta_{n\nu}^*(x)$ определяются из соотношений

$$\begin{aligned} \alpha_{n\nu}^*(x) &= -(-1)^{\nu} \frac{2}{\pi} [kei_n y (ber_{n-\nu} y - ber_{n+\nu} y) + \\ &\quad + ker_n y (bei_{n-\nu} y - bei_{n+\nu} y)] \\ \beta_{n\nu}^*(x) &= (-1)^{\nu} \frac{2}{\pi} [kei_n y (bei_{n-\nu} y - bei_{n+\nu} y) - \\ &\quad - ker_n y (ber_{n-\nu} y - ber_{n+\nu} y)], \end{aligned} \quad (5)$$

где $y = x\sqrt{2}$.

Ряды для подсчета функций $ber_n y$, $bei_n y$, $ker_n y$ и $kei_n y$ приведены в [1].

Через функцию напряжений φ определяются усилия в срединной поверхности оболочки, а через перемещение w — моменты и перерезывающие силы. На основании [4] усилия в сечениях оболочки можно представить рядами

$$M_{\rho}(\rho, \theta) = -\frac{\kappa^2 ER}{64\omega^2 \lambda} \sum_{\nu=1,3,5,\dots}^{\infty} M_{\rho\nu}(x) \cos \nu\theta$$

$$Q_{\rho}^*(\rho, \theta) = -\frac{\kappa E}{64\omega \lambda} \sum_{\nu=1,3,5,\dots}^{\infty} Q_{\rho\nu}(x) \cos \nu\theta$$

$$N_\rho(\rho, \theta) = -\frac{E}{8\lambda x} \sum_{\nu=1,3,5,\dots}^{\infty} N_{\rho\nu}(x) \cos \nu\theta$$

$$T_{\rho\theta}(\rho, \theta) = -\frac{E}{8\lambda x} \sum_{\nu=1,3,5,\dots}^{\infty} \nu T_\nu(x) \sin \nu\theta \text{ и т. д.} \quad (6)$$

Уравнение равновесия элемента оболочки, выделенного сечением $\rho = \text{const}$ (фиг. 1), относительно оси 0—0, проходящей через начало координат по касательной к направляющей срединной поверхности, даёт

$$M = -\frac{\pi x E R_0^2 x}{64\omega^3 \lambda} (x N_{\rho,1} - x N_{\rho,3} + 5x T_1 + 3x T_3 - x Q_{\rho,1} + M_{\rho,1}). \quad (7)$$

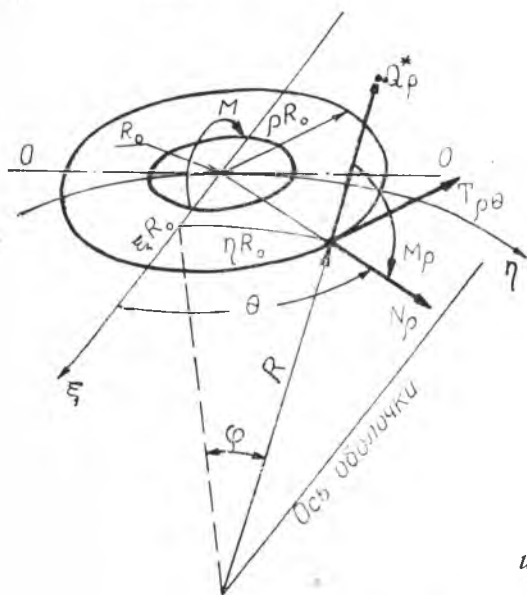
Последнее равенство может быть приведено к виду

$$M = -\frac{x E R_0^2}{8\omega^3 \lambda} \sum_{n=0}^{\infty} (A_n + B_n) \quad (8)$$

Все остальные уравнения равновесия удовлетворяются тождественно.

В соответствии с [4] перемещения в срединной поверхности оболочки могут быть также представлены рядами

$$u(\rho, \theta) = \frac{x x}{8\omega} \sum_{\nu=1,3,5,\dots}^{\infty} u_\nu(x) \cos \nu\theta,$$



Фиг. 12.

$$v_\nu(\rho, \theta) = \frac{x x}{8\omega} \sum_{\nu=1,3,5,\dots}^{\infty} v_\nu(x) \sin \nu\theta. \quad (9)$$

Условие однозначности перемещений даёт [4] зависимость

$$\sum_{n=0}^{\infty} (A_n - B_n) = 0. \quad (10)$$

Граничные условия задачи при $\rho = 1$ имеют вид

$$w = \psi R_0 \cos \theta, \quad \frac{\partial w}{R_0 \partial \rho} = \psi \cos \theta.$$

$$u = a \cos \theta - \frac{\gamma R_0 \psi}{8} (\cos \theta - \cos 3\theta),$$

$$v = -a \sin \theta - \frac{\gamma R_0 \psi}{8} (5 \sin \theta + \sin 3\theta). \quad (11)$$

Здесь a — смещение шайбы вдоль образующей, а ψ — угол поворота шайбы.

К граничным условиям следует добавить уравнение равновесия (8) и условие однозначности перемещений (10). Ограничив в выражениях для перемещений, а также в (8) и (10) суммирование до $v_{\max} = p_{\max} = K$, получим в итоге замкнутую конечную систему алгебраических уравнений относительно постоянных A_n и B_n . После их определения могут быть подсчитаны внутренние усилия и компоненты напряжения в сечениях оболочки.

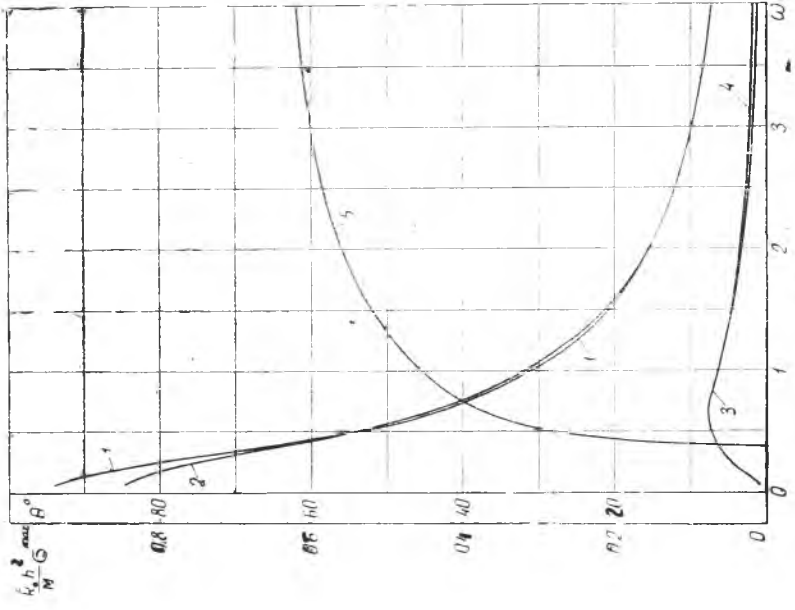
Задача была запрограммирована и просчитана на ЭЦВМ «Урал-2». Коэффициент Пуассона μ принимался равным 0,3. При этом

$$\omega = 0,6427 \sqrt{\lambda} = 0,6427 \frac{R_0}{\sqrt{Rh}}. \quad (12)$$

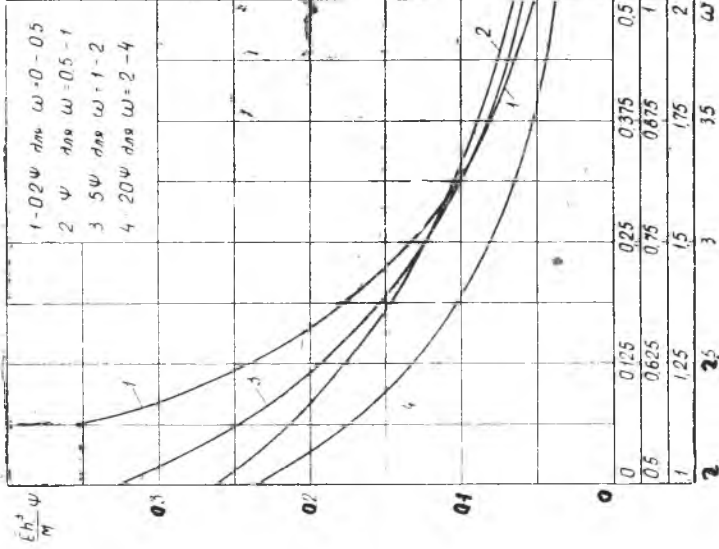
Результаты вычислений показали, что наиболее существенными являются изгибные напряжения σ_p^M по линии спая оболочки с шайбой, которые весьма интенсивно убывают по мере удаления от последней. Кривая 1 на фиг. 2 дает изменение максимальных изгибных напряжений в зависимости от параметра ω . Здесь же приведен график максимальных эквивалентных напряжений σ_e на наружной поверхности оболочки (кривая 2), подсчитанных по теории прочности энергии формоизменения. Для $\omega \leq 0,375$ обе эти величины достигают наибольших значений при $\theta = 0$. Затем, с ростом ω , точка максимума начинает постепенно смещаться, как показано на кривой 5. Кривая 3 характеризует наибольшие нормальные напряжения в срединной поверхности σ_p^N ($\theta = 0$), а кривая 4 — касательные напряжения τ_{p-} ($\theta = 90^\circ$). Напряжения кручения по линии спая равны нулю, а остальные величины могут быть здесь найдены из условия: $\sigma_\theta^M = \mu \sigma_\theta^N$, $\sigma_\theta^N = \mu \sigma_\theta^M$.

Зачастую требуется знать не только прочность, но и жесткость системы. Графики безразмерных величин, характеризующих угол поворота шайбы ψ под действием момента M , приведены на фиг. 3. Для удобства практического использования графики построены в различном масштабе для различных диапазонов ω .

Внешний момент M уравнивается частично изгибными напряжениями в оболочке, частично — напряжениями в срединной поверхности. Обозначим через $M_{\delta M}$ долю момента M , уравниваемую безмоментными напряжениями, действующими по замкнутому контуру $\rho = \text{const}$. Интересующая нас величина может быть получена из (7), если опустить $Q_{p,1}$ и $M_{p,1}$. Кривая 1 на фиг. 4 показывает зависимость от ω величины $\frac{M_{\delta M}}{M}$ по линии спая



Фиг. 2.

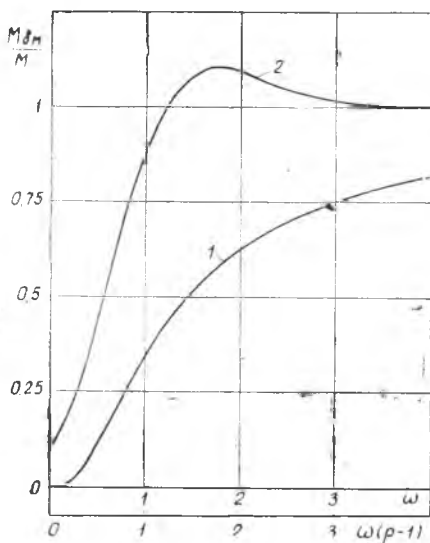


Фиг. 3.

оболочки с шайбой ($\rho=1$). Плоской пластине соответствует $\omega=0$. Момент M может здесь восприниматься только за счет изгибных напряжений. По мере роста ω все большая доля момента воспринимается напряжениями в срединной поверхности. Кривой 2, построенной для $\omega=0,5$, соответствует по оси абсцисс безразмерный параметр $\omega(\rho-1)=0,06427 \frac{2Rh}{\sqrt{R_0}}$

характеризующий расстояние от шайбы до сечения $\rho=\text{const}$.

При $\omega(\rho-1)=3,5$ величина $\frac{M_{\delta m}}{M}$ отличается от 1 всего лишь на 0,5%, т.е. здесь заканчивается зона, возмущенная изгибными напряжениями; и момент M практически уравнивается уже только безмоментными нормальными σ_{ρ}^N и касательными τ_{θ}^I напряжениями.



Фиг. 6.

ЛИТЕРАТУРА

1. Г. Б. Двайт. Таблица интегралов и другие математические формулы. ИЛ, Москва, 1948.
2. А. И. Лурье. Статика тонкостенных упругих оболочек. Гостехиздат, Москва-Ленинград, 1947.
3. Г. Н. Савин, А. Н. Гузь. К вопросу о концентрации напряжений около отверстий в цилиндрической оболочке. Доповіді АН УРСР, № 11, 1964.
4. Х. С. Хазанов. К расчёту цилиндрических оболочек с круглыми отверстиями. Труды Куйбышевского авиационного института, вып. XXIX, 1967.